



อิทธิพลตัวแปรการเชื่อมการเชื่อมอาร์กโอละก้าซคลูมต่อสมบัติของรอยต่อระหว่างเหล็กกล้าคาร์บอนเกรด SS400 กับเหล็กกล้าไร้สินิมเกรด 430

Effect of MIG Welding Parameters on Joint Properties of SS400 Carbon Steel and 430 Stainless Steel

สุวัฒ ภูษา^{1*} กิตติพงษ์ กิมพงษ์²

^{1,2} ภาควิชาวิศวกรรมอุตสาหการ คณะวิศวกรรมศาสตร์ มหาวิทยาลัยเทคโนโลยีราชมงคลรัตนบุรี

อำเภอธัญบุรี จังหวัดปทุมธานี รหัสไปรษณีย์ 12110

E-mail: suwat18868@hotmail.com*

บทคัดย่อ

บทความนี้มีจุดประสงค์เพื่อศึกษาอิทธิพลตัวแปรงานเชื่อม มี กต่อสมบัติของรอยต่อระหว่างเหล็กกล้าคาร์บอนเกรด SS400 กับ เหล็กกล้าไร้สินิม 430 โดยมีผลการทดลองที่ได้คือ จากการ ตรวจสอบมหภาคทุกระยะ เชื่อมของการเชื่อมเหล็กกล้าคาร์บอน SS400 กับเหล็กกล้าไร้สินิม AISI 430 ด้วยกระบวนการเชื่อมการ เชื่อมอาร์กโอละก้าซคลูม ความเร็วในการเชื่อม 400 มม./นาที แก๊สปักคลูม Ar80% + CO₂20% ที่กระแส 110 A จะให้แนวเชื่อมที่ มีลักษณะการเชื่อมลึก ผิวน้อยเชื่อมเป็นเกร็งสายงาม เหมาะสมต่อ การเชื่อมที่สุด การเชื่อมด้วยกระแส 100 – 120 A แนวเชื่อมมี ความแข็งแรงมากกว่า ชิ้นทดสอบเหล็ก SS400 เมื่อจากอุณหภูมิ ของชิ้นทดสอบแรงดึงไม่ได้ขาดที่บริเวณรอยเชื่อม แต่ขาดบริเวณ ขอบพื้นที่กระบวนการร้อน (HAZ) บนเนื้อเหล็ก SS400 โดยที่กระแส 110 A อิทธิพลของความร้อนส่งผลต่อโครงสร้างของชิ้นงานทำให้ ได้ค่ารับแรงดึงสูงสุด ซึ่งเหมาะสมกับการเชื่อม กระแสไฟฟ้าส่างผล ต่อความแข็งแรงของแนวเชื่อม เนื่องจากการหลอมละลายไม่ สมบูรณ์ทำให้การขาดของชิ้นงานทดสอบแรงดึงจะขาดตรงบริเวณ ขอบแนวเชื่อมและให้ค่ารับแรงดึงต่ำสุดไม่เหมาะสมกับการเชื่อม ทุก กระแสเชื่อมจะให้ค่าความแข็งที่ใกล้เคียงกัน โดยพบว่าบริเวณแนว เชื่อมจะให้ค่าความแข็งมากกว่าบริเวณอื่น และค่าความแข็งมากกว่า บริเวณ HAZ ของชิ้นงาน AISI 430 มีค่าความแข็งมากกว่า บริเวณ HAZ ของชิ้นงาน SS 400 และความแข็งใกล้เคียงกับแนวเชื่อม

คำหลัก เหล็กกล้าไร้สินิ , เหล็กกล้าคาร์บอน , การเชื่อมมิก

1. บทนำ

อุตสาหกรรมการผลิตในปัจจุบันมีการนำโอละก้าซคลูมเข้า มาเป็นส่วนประกอบของโครงสร้างเพื่อต้องการนำข้อดีของโอละก้า ลูมมาใช้ให้เกิดประโยชน์สูงสุด และทำให้โครงสร้างที่มีความ ยืดหยุ่น สามารถรับแรงที่กระทำที่อยู่ในช่วงที่ยอมรับได้ [1] การ นำเอาโครงสร้างที่ประกอบด้วยโอละก้าซคลูมไปใช้งานจำเป็นอย่าง ยิ่งที่ต้องมีการเชื่อมต่อเข้าด้วยกันเพื่อให้เกิดความแข็งแรง การ เชื่อมต่อโอละก้าซคลูมสามารถทำได้ด้วยวิธีการหลอมรูปแบบ เช่น การเชื่อมด้วยวิธีทางกล (Mechanical joining) การติดปืนด้วยการ

(Adhesive) หรือการเชื่อม (Welding) เป็นต้น อย่างไรก็ตามในงาน อุตสาหกรรมโดยทั่วไปโดยเฉพาะอุตสาหกรรมการผลิตยังคงต้อง พับว่าการเชื่อมเป็นวิธีการที่ได้รับความนิยมนำมาใช้ในการ เชื่อมต่อวัสดุต่างชนิดมากที่สุด โดยกรรมวิธีในการเชื่อมที่นิยม นำมาใช้คือการเชื่อมความด้านทานแบบจุด (Resistance spot welding) การเชื่อมทิก (Tungsten Inert Gas) หรือการเชื่อมมิก (Metal inert gas) เป็นต้น [2]

อย่างไรก็ตามการเชื่อมวัสดุต่างชนิดนั้นก็ต้องขึ้น ขึ้นมาจากเรื่องจากวัสดุทั้งสองนั้นมีสมบัติทางกล ทางกายภาพ และทาง เคมีที่แตกต่างกันส่งผลให้เกิดปรากฏการณ์ต่างๆ ขึ้นในเวลาท่า การเชื่อม เช่น การขยายตัวนี้ของความร้อน (Thermal expansion) ที่แตกต่างกันทำให้แยกล้ำมากในการควบคุมรูปร่าง ของชิ้นงาน อุณหภูมิหลอมเหลว (Melting temperature) ที่แตกต่างกัน ทำให้ความส່าດเมืองในการหลอมละลายและการควบคุมบ่อ หลอมเหลวทำได้ยาก และการนำความร้อน (Thermal conductivity) ทำให้เมื่อรอยต่อวัสดุต่างชนิดเกิดการเย็นตัว (Cooling) ลงสู่อุณหภูมิห้องทำให้เกิดการถ่ายเทความร้อนที่ แตกต่างทำให้เกิดการแตกร้าวเนื่องจากความเส้นที่เกิดขึ้นใน ชิ้นงานได้ด้วยเหตุนี้การเลือกวิธีการเชื่อมจึงต้องพิจารณาด้วย ความละเอียดเพิ่มขึ้น [1] ในอุตสาหกรรมการเกษตรในประเทศไทย เช่น ในอุตสาหกรรมการผลิตน้ำตาล มีการนำวัสดุต่างชนิดเข้ามาใช้ งานเพิ่มมากขึ้นเพื่อเป็นการลดราคาค่าใช้จ่าย และเหตุผลทางด้าน การออกแบบทางวิศวกรรม หนึ่งในรอยต่อของวัสดุต่างชนิดที่นิยม ใช้คือ รอยต่อระหว่างเหล็กโครงสร้างและเหล็กกล้าไร้สินิ เนื่องจากต้องการความสามารถในการป้องกันการเกิดการกัดกร่อน ของโลหะที่ใช้เมื่อสัมผัสกับผลิตภัณฑ์ของอุตสาหกรรมการผลิต น้ำตาล แต่หากจะใช้ทุกชิ้นส่วนเป็นเหล็กกล้าไร้สินิทั้งหมด โดยเฉพาะบริเวณโครงสร้างอาจเกิดความไม่เหมาะสมในการ ออกแบบได้

การเชื่อมรอยต่อระหว่างเหล็กกล้าคาร์บอนและเหล็กกล้าไร้ สินิในอุตสาหกรรมการผลิตน้ำตาลอาจแบ่งออกได้ 2 กลุ่มใหญ่ คือ การเชื่อมด้วยลวดเชื่อมห้มฟลักซ์ (Shielded metal arc welding: SMAW) และการเชื่อมอาร์กโอละก้าซคลูม (Gas metal arc welding: GMAW) แต่เนื่องจากการเชื่อมด้วยลวดเชื่อม

หุ้มฟลักซ์นั้นมีกระบวนการเชื่อมที่บุ่งยากกว่าด้วยเหตุนี้การเชื่อมอาร์กไโอละก้าซคลูมจึงมีความนิยมนำมาใช้งานมากกว่า การเชื่อมอาร์กไโอละก้าซคลูมเป็นหนึ่งในกรรมวิธีการเชื่อมที่นิยมใช้งานอุดสากกรรมดังได้แก่ร่วมแล้วข้างต้น ที่มีลักษณะเด่น คือ ถูกนำมาใช้แทนกรรมวิธีการเชื่อมด้วยคลอดเชื่อมหุ้มฟลักซ์ ซึ่งสามารถทำการเชื่อมได้รวดเร็วและต่อเนื่องประหนัยเวลาในการทำความสะอาดเพรำไม่มีแสงปกคลุมแนวเชื่อม [3] และเป็นกระบวนการเชื่อมที่มีคุณภาพสูง นิยมใช้กันมากในปัจจุบัน เพรำแนวเชื่อมมีความแข็งแรง เกิดข้อบกพร่องในแนวเชื่อมน้อย เมื่อใช้กระบวนการเชื่อมนี้แล้วมีผลต่อสมบัติของชิ้นงาน ต่อรอย และโครงสร้างของแนวเชื่อม

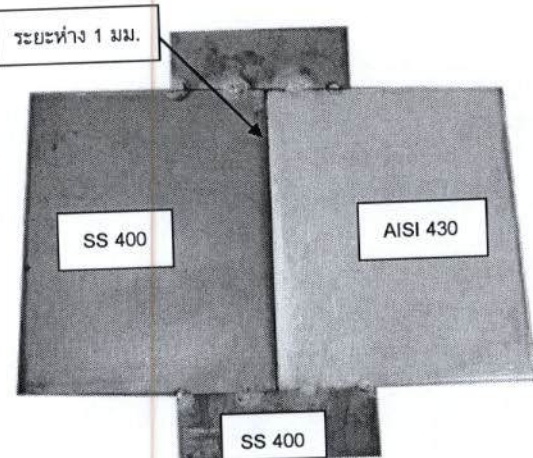
อย่างไร้ความสามารถศึกษาผลกระทบทางที่เกี่ยวกับด้านการประการเชื่อมที่มีผลต่อสมบัติของโลหะ เชื่อมของรอยต่อระหว่างเหล็กกล้าไวร์สันนิมและเหล็กกล้าคาร์บอนที่มีการใช้งานในอุตสาหกรรมการผลิตน้ำตาลนั้นมีผลการทดลองที่ผ่านการนำเสนอในปริมาณน้อยมาก ด้วยเหตุนี้หากมีการศึกษาเพื่อหาอิทธิพลตัวแปรการเชื่อมต่างๆ ที่มีผลต่อสมบัติโลหะเชื่อมจะทำให้เกิดประโยชน์ต่องานอุตสาหกรรมต่อไปในอนาคตได้เป็นอย่างดี คณานุพันธุ์วิจัยจึงมีจุดประสงค์ในการประยุกต์การเชื่อมด้วยกระบวนการเชื่อมอาร์กไ保障ก้าซคลูม (GMAW) ใน การเชื่อมรอยต่อเหล็กกล้าคาร์บอนต่ำ SS400 กับเหล็กกล้าไวร์สันนิมเกรด 430 และทำการศึกษาอิทธิพลตัวแปรการเชื่อมที่มีผลต่อสมบัติของรอยต่อเพื่อเป็นประโยชน์ต่อการนำไปใช้งานต่อไป

2. วิธีการทดลอง

การทดลองครั้งนี้ได้กำหนดตัวแปรในการทดลองทั้งหมด 3 ตัวแปร ดังนี้ กระเบื้องไฟที่ใช้ในการเผื่อ 4 ระดับ คือ 90 - 120 A ความเร็วในการเดินแนวเชื่อม 400 มม.ต่อนาที แก๊สปากลม Ar80% + CO₂20% โดยใช้อัตราการให้เหล็กแก๊สปากลมที่ 12 ลิตร/นาที และใช้แก๊สเชือดล้านหลังแนวเชื่อมที่อัตรา 5 ลิตร/นาที ตัวแปรในการทดลองเหล่านี้จะมีผลโดยตรงต่อวัสดุ และสมบัติของแนวเชื่อม ค่าการระบายฟ้าที่แตกต่างส่งผลต่อการหลอมละลาย และการซึมลึกของแนวเชื่อม ความเร็วในการเดินแนวเชื่อมมีผลต่อลักษณะของแนวเชื่อมและอัตราการเติมเนื้อโลหะสู่ห้องหลอมละลาย และแก๊สปากลมแนวเชื่อมมีผลต่อการอาร์ค ต่อมสมบัติของรอยเชื่อม

วัสดุที่ใช้ในการศึกษาจะใช้โลหะ 2 ชนิด คือ เหล็กกล้า
คาร์บอน เกรด SS400 และ เหล็กกล้าไร้สนิมเฟอร์ริติก AISI 430
ความหนา 3 มิลลิเมตร โดยนำวัสดุทั้งสองชนิดมาตัดให้ได้ชิ้นงาน
ทดสอบที่มีขนาดเท่ากัน คือ $65 \times 80 \times 3$ มม. ทำการมากหน้า
งานให้ได้ตามมาตรฐาน AWS D1.1 / D1.1 M:2600 เมื่อบากรหน้า
งานเรียบข้อนำมาชิ้นงานเชื่อมยึดบริเวณหัวท้ายของรองรอยต่อด้วย
แผ่นยึดที่เป็นเหล็กกล้าкар์บอนต่ำ กว้าง 20 มม. ยาว 50 มม.
หนา 3 มม. แสดงดังรูปที่ 1 ลวดเชื่อมสำหรับเชื่อมชนิดลวดเปลือยก
ดัน เป็นลวดเชื่อมเหล็กกล้าไร้สนิม เกรด 430 ตามมาตรฐาน AWS
A 5.9 : ER430 ขนาดเส้นผ่านศูนย์กลาง 1.2 มม. ความเร็วในการ
ป้อนตามค่าพารามิเตอร์การเชื่อม

กระบวนการเชื่อมที่ใช้ในการทดสอบคือการเชื่อมแบบแก๊สปั๊กคุณ (GMAW : Gas Metal Arc Welding) โดยใช้เครื่องเชื่อมมิก (MIG) แบบแรงดันคงที่ วัสดุจัดการทำงาน 100 % ขนาด 300 แอมป์ร์ ลักษณะในการเชื่อมเป็นแบบต่อเนื่อง โดยประบุกต์ เอาหัวเชื่อมมิก ประบุกอยู่ติดตั้งเข้ากับเครื่องตัดแก๊สแบบเล่นตรง เพื่อให้การเชื่อมเป็นแบบตัดโน้มดี ปรับแต่งเครื่องเชื่อม และของเศษของหัวเชื่อมตามค่าพารามิเตอร์ที่กำหนด วางแผนงานเชื่อมใน ตำแหน่งท่ารำบ ใช้แผ่นทองแดงวางประบุกชั้นงานด้านบน จับยึดให้แน่นด้วยอุปกรณ์จับยึด แสดงดังรูปที่ 2 แล้วทำการเชื่อมเดิน แนวชั้นงานด้วยเทคนิคการเดินรถลากเชื่อมแบบแบ็คแชน ตามตัว แปรที่กำหนดให้ครบถูกตัวแปร และเพื่อให้ผลการทดสอบมีระเบียบ แบบแผนผลลัพธ์มาเป็นที่หน้าเชื่อมถือ จึงสามารถทดสอบทำซ้ำ และนำชิ้นงานไปทดสอบเพื่อปรับปรุงเทียบค่าที่ถูกผิดต้อง



รูปที่ 1 แสดงลักษณะการเชื่อมบีดหัวท้ายชิ้นงาน

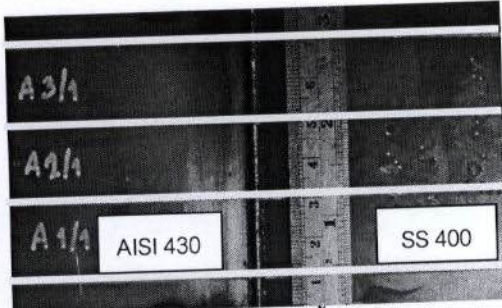


รูปที่ 2 แสดงลักษณะการจับยึดชิ้นงานเชื่อม

การตรวจสอบโครงการสร้างทางโลหะวิทยาโดยใช้กล้องไมโครสโคปกำลังขยายสูง การสังเกตุรูปร่างเม็ดเกรน เพื่อสังเกตถ้าเปลี่ยนแปลงลักษณะรูปร่างและโครงสร้างอุบลภาค ใช้เครื่องจักรกลช่วยในการเตรียมชิ้นงานทดสอบ อุปกรณ์ทดสอบทางโลหะวิทยาตามมาตรฐานการใช้งานทดสอบ โดยมีอุปกรณ์ทดสอบ โครง



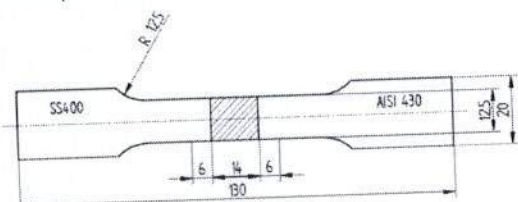
สร้างมหภาค โครงสร้างจุลภาค โดยนำชิ้นงานเข้มมาตัดเป็นชิ้นตามมาตรฐาน DIN 50351 แสดงดังรูปที่ 3 โดยแบ่งชิ้นงานออกเป็น 5 ชิ้น ตัดชิ้นหัวท้ายทั้งจะเหลือ 3 ชิ้น 2 ชิ้นของนำไปทดสอบแรงดึง ชิ้นตรงกลางนำไปตรวจสอบโครงสร้างมหภาค จุลภาค และทดสอบความแข็ง



รูปที่ 3 แสดงลักษณะการตัดชิ้นงานทดสอบ

ในการเตรียมชิ้นงานสำหรับการตรวจสอบโครงสร้างหลังจากนำชิ้นงานเข้มมาเลื่อยให้ได้ตามมาตรฐานแล้วนั้นที่จะใช้ตรวจสอบโครงสร้างจุลภาค มาทำมาส์ต์โดยการนำเรซิน หรือพลาสติกมาหล่อทับชิ้นงานเพื่อใช้ขับยึดในการตัด จากนั้นนำชิ้นงานขึ้นเครื่องขัด เรียงขนาดตามความหมายของระดับรายก้อนนำไปปั๊ดกรด และนำไปส่องดูโครงสร้างจุลภาคด้วยกล้องไมโครสโคปกำลังขยายบริบันให้ได้ขนาดที่สามารถเห็นเม็ดเกรนได้อย่างชัดเจน

การทดสอบทางกลในการทดสอบนี้ได้กำหนดการทดสอบทางกล 2 อาย่าง คือ การทดสอบความแข็งใช้การทดสอบแบบวิกเกอร์ (Vickers Hardness Test) โดยชิ้นงานที่ใช้ทดสอบความแข็งจะใช้ชิ้นงานอันเดียวกันกับชิ้นงานที่ใช้ตรวจสอบโครงสร้างจุลภาค และการทดสอบแรงดึงหัวค่าแรงดึงสูงสุด การทดสอบชิ้นงานที่ใช้ตามมาตรฐานการทดสอบโดยใช้ชิ้นงานภาคตัดขวางเป็นรูปสี่เหลี่ยมมุมฉาก แสดงดังรูปที่ 4

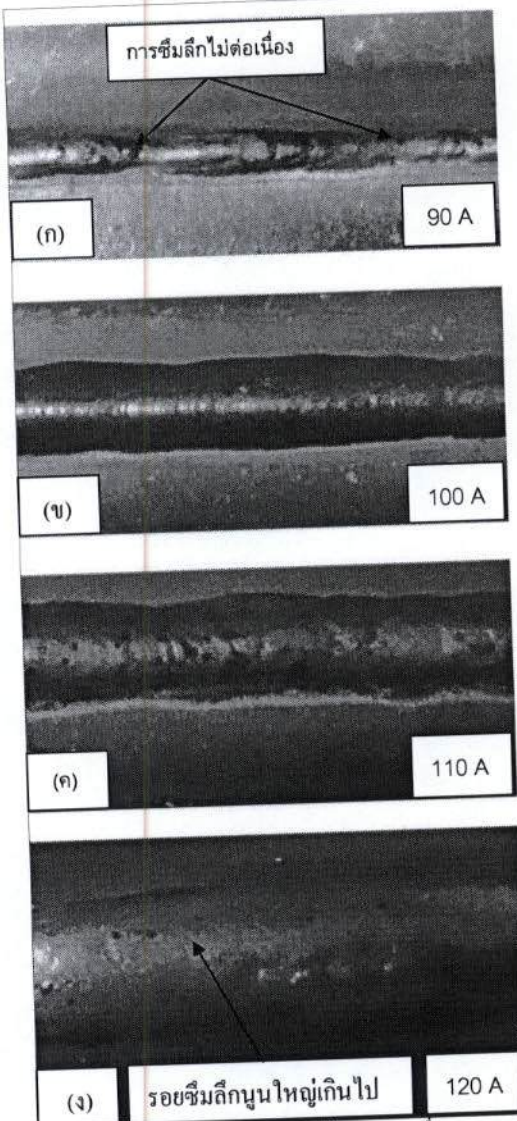


รูปที่ 4 แสดงลักษณะชิ้นงานทดสอบแรงดึง

3. ผลการทดสอบและอภิปรายผล

การตรวจสอบโครงสร้างทางโลหะวิทยาได้ทำการตรวจสอบส่องแบบคือแบบมหภาค กับแบบจุลภาค โดยการตรวจสอบแบบมหภาค พนวิเคราะห์และเชื่อมที่แตกต่างสั่งผลต่อลักษณะของแนวเชื่อม ทั้งขนาดความโถะ ระยะการเชื่อม ความสมบูรณ์ของรอยเชื่อม โดยที่กระแสไฟ 90 A แนวเชื่อมเล็กนูน การทดสอบจะมีผลลัพธ์ดังนี้

มีการเชื่อมลึกไม่สมบูรณ์ลักษณะการเชื่อมลึกน้อย รอยเชื่อมรักแคนดังรูปที่ 5 (ก) การอาจรักในการเชื่อมต่ออัตราการเติมเนื้อโลหะน้อย



รูปที่ 5 แสดงลักษณะการเชื่อมลึกของแนวเชื่อม

ควบคุมการหลอมละลายยาก เพราะกระแสต่ำ ซึ่งแตกต่างจากการเชื่อมลึกของแนวเชื่อมที่เชื่อมด้วยกระแสไฟขนาดอื่น ในรูปที่ 5 (ข) ที่กระแสไฟ 100 A ลักษณะการเชื่อมลึกสมบูรณ์ความนูนของแนวเชื่อมไม่มีนูนเกินกว่ามาตรฐานที่กำหนด การหลอมละลายที่ขึ้นบนงานเป็นไปในลักษณะที่สวยงามไม่มีรอยกดแห้ง ในการเชื่อมสามารถควบคุมการเชื่อมได้ง่าย ในรูปที่ 5 (ค) ที่กระแสไฟ 110 A ลักษณะร้อยเชื่อมและการเชื่อมลึกสมบูรณ์การหลอมละลายระหว่างชิ้นงาน กับลวดเชื่อมเป็นไปอย่างสมบูรณ์อัตราการเติมลดต่ำ ควบคุมการหลอมละลายง่าย ไม่มีรอยกดแห้งที่ขึ้นบนงานเชื่อมเมื่อเปรียบเทียบกับกระแสไฟ 100 A มีความใกล้เคียงกันของแนวเชื่อม ในรูปที่ 5 (ง) ที่กระแสไฟ 120 A ลักษณะร้อยเชื่อมและการเชื่อมลึก



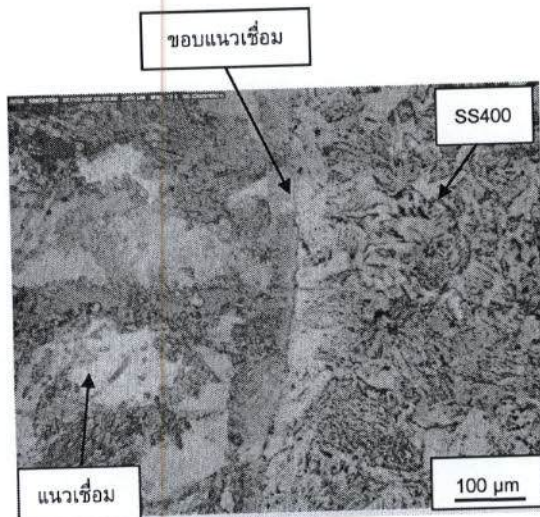
มากเกินไปการหลอมละลายสูงอัตราการเติมโลหะสูง การเชื่อมทำได้ยากไม่สามารถควบคุมการอาร์กและการเติมเนื้อโลหะได้อย่างสมบูรณ์อันเนื่องมาจากอัตราความเร็วและปริมาณกระแสไฟไม่สัมพันธ์กันทำให้เกิดการระเหยลูบผิวงาน และเกิดแอ่งบนผิวอย่างเพื่อเพรียบปริมาณความร้อนของกระแสไฟสูงกินไป การเชื่อมลึกของแนวเชื่อมมีลักษณะอย่างซึมลึกมากเกิดการกรอกของรวมตัวของคลาด เชื่อมทำให้รอยเชื่อมลึกใหญ่และมีรอยกดแห้งที่ขอบของแนวเชื่อม เมื่อเปรียบเทียบลักษณะของแนวเชื่อมและการเชื่อมลึกของรูปที่ 5 (ข) และ (ค) พบร่วมลักษณะที่เหมาะสมและมีความใกล้เคียงของแนวเชื่อม ส่วนรูปที่ 5 (ก) และ (ข) จะเห็นว่าแนวเชื่อมหลอมละลายไม่สมบูรณ์ เพราะกระแสไฟต่ำเกินไปและสูงเกินไปตามลักษณะของแนวเชื่อมแต่ต้องดูดแนบทุกระดับกระแสไฟพบร่วมลักษณะผิวและการเชื่อมลึกที่ระดับกระแสไฟทั้ง A และ 110 A มีความสมบูรณ์ที่สุดทำให้สรุปได้ว่าที่กระดับกระแสไฟทั้งสองมีความเหมาะสมในการเชื่อม

การตรวจสอบโครงสร้างทางอุลจัลภาคของแนวเชื่อม บริเวณกรอบร้อน (HAZ) พบร่วมลักษณะที่เหมาะสมและมีความใกล้เคียงของเม็ดเกรนในบริเวณแนวเชื่อมเมื่อเทียบกับกระแสไฟแต่ลักษณะที่กระดับ 90 A ซึ่งให้การรับแรงดึงต่ำสุดและชั้นงานทดสอบแรงดึงขาดบริเวณขอบแนวเชื่อมฟัน AISI 430 พบร่วมลักษณะของแนวเชื่อมเมื่อเทียบกับโครงสร้างบริเวณกรอบร้อนของเหล็ก SS 400 และ AISI 430 พบว่าลักษณะโครงสร้างแนวเชื่อมมีความหมายมากกว่าโครงสร้างพื้นที่กระบอบร้อนของชั้นงานทั้งสองชนิด เมื่อเปรียบเทียบโครงสร้างพื้นที่กระบอบร้อนทั้งสองฟันพบร่วมลักษณะเม็ดเกรนฟันชั้นงาน AISI 430 มีความหมายมากกว่า ฟันชั้นงาน SS 400 โดยเมื่อพิจารณาของของรอยเชื่อมที่ขาดเมื่อนำไปทดสอบแรงดึงพบว่าเม็ดเกรนของแนวเชื่อมกับชั้นงานแยกกันอยู่อย่างอิสระอันเนื่องมาจากกระแสไฟที่อ่อนเกินไปทำให้การหลอมรวมกันระหว่างชั้นงานกับแนวเชื่อมไม่สมบูรณ์ทำให้เกิดการถูกขาดบริเวณนี้เมื่อไถรับแรงดึง

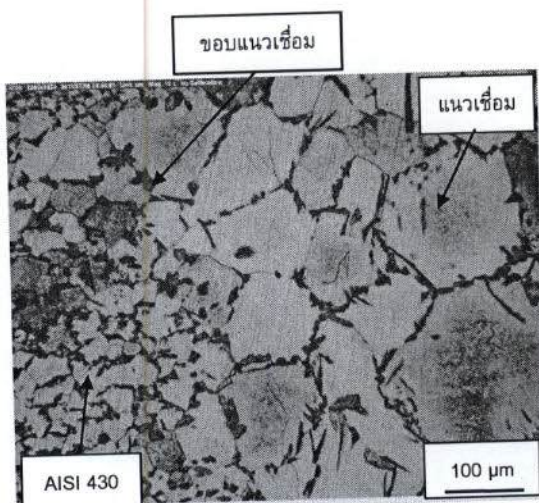
ที่กระดับกระแสไฟ 110 A ซึ่งเป็นกระแสที่รับแรงดึงได้สูงสุดและชั้นงานไถรับแรงดึงเมื่อนำไปทดสอบแรงดึง โครงสร้างของเม็ดเกรนบริเวณแนวเชื่อมมีลักษณะเด่นโครงสร้าง โครงสร้างจะหมายกว่าโครงสร้างชั้นงาน SS 400 และ AISI 430 ซึ่งลักษณะโครงสร้างแบบนี้จะทำให้แนวเชื่อมมีความแข็งมากกว่าชั้นงาน เมื่อตรวจสอบบริเวณพื้นที่กระบอบร้อนฟัน SS 400 จะเห็นลักษณะเม็ดเกรน เรียงตัวจะเอียงกว่า AISI 430 โครงสร้างจะหมายกว่าเมื่อพิจารณาของของรอยเชื่อมพบมีการแยกส่วนของเม็ดเกรนวัสดุและเม็ดเกรนแนวเชื่อมอย่างชัดเจนแต่ลักษณะการรวมตัวของเม็ดเกรนจะหายไปในการหลอมรวมกันของเม็ดเกรนกลมกลืน อันเนื่องมาจากอัตราการเติมโลหะความเร็วในการเดินและกระแสไฟมีความเหมาะสม

เมื่อนำโครงสร้างทุกระดับกระแสไฟเปรียบเทียบกับพบร่วมบริเวณกรอบร้อน (HAZ) กับบริเวณแนวเชื่อมมีลักษณะของเม็ดเกรนที่แบ่งเขตของชั้นงานที่เป็นวัสดุต่างชนิดกันอย่างชัดเจนกึ่งแม

จะมีการหลอมละลายของเนื้อโลหะผสมกันอย่างสมบูรณ์ก็ตามก็จะเห็นขอบแนวเชื่อมกับชั้นงานชัดเจนทุกระดับกระแสไฟ แสดงดังรูปที่ 6 และ 7 และโครงสร้างบริเวณแนวเชื่อมจะเป็นลักษณะเด่นโครงสร้างและไฟเชื่อมกัน ความแตกต่างของเม็ดเกรนบริเวณแนวเชื่อมกับชั้นงานมีลักษณะของเม็ดเกรนที่ไม่เหมือนกันโดยแนวเชื่อมมีลักษณะเม็ดเกรนที่หมายกว่าเม็ดเกรนของพื้นที่กระบอบร้อน และโครงสร้างพื้นฐานของวัสดุจะหักสองชนิด ในส่วนของการหลอมละลายของเนื้อโลหะกับผลลัพธ์เชื่อมพบร่วมกับชั้นงาน AISI 430 จะหลอมละลายรวมตัวกับแนวเชื่อมได้ดีกว่าของแนวเชื่อมฟัน ทางชั้นงาน SS 400 เหตุที่เป็นเช่นนี้เพราะลักษณะเชื่อมที่ใช้เชื่อมเป็นลักษณะเชื่อมเหล็กกล้ารีสันฟลูอิเดียมีเม็ดเกรน 430 ซึ่งเป็นเกรดเดียวกับชั้นงาน AISI 430 จึงทำให้การหลอมรวมตัวของเนื้อโลหะบริเวณของแนวเชื่อมดีกว่าฟันชั้นงาน SS 400



รูปที่ 6 แสดงโครงสร้างของแนวเชื่อม SS 400 กระแส 110 A

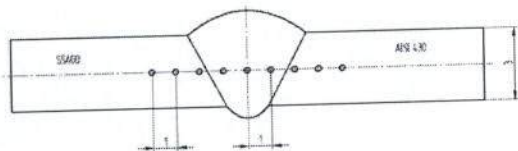


รูปที่ 7 แสดงโครงสร้างของแนวเชื่อม AISI 430 กระแส 110 A

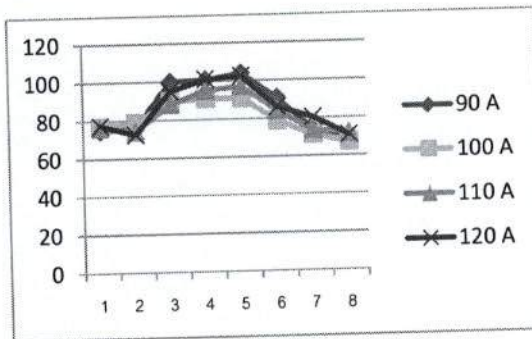


การทดสอบสมบัติทางกลได้ก้านจากการทดสอบไปร์ 2 วิธีการคือ การทดสอบความแข็ง และการทดสอบแรงดึง โดยพิจารณาจากตัวแปรการเชื่อมที่ระดับของกระแสไฟที่แตกต่างกัน

การทดสอบความแข็งใช้การทดสอบแบบวิกเกอร์กต ที่บริเวณกึ่งกลางรอยเชื่อมและชิ้นงาน ดังแสดงในรูปที่ 8 เมื่อพิจารณาผลการทดสอบทุกรุ่นแล้วเชื่อมพมวมความแข็งบริเวณรอยเชื่อมที่ใกล้เคียงกัน และเมื่อเปรียบเทียบค่าเฉลี่ยของความแข็งพบว่าบริเวณแนวเชื่อมได้ค่าความแข็งสูงสุด เปรียบเทียบค่าความแข็งของแต่ละพื้นที่พบว่า บริเวณ HAZ ของชิ้นงาน AISI 430 มีค่าความแข็งใกล้เคียงกับแนวเชื่อม ส่วนบริเวณ HAZ ของชิ้นงาน SS400 จะให้ค่าความแข็งน้อยกว่าบริเวณแนวเชื่อมและ HAZ ของชิ้นงาน AISI 430 แต่จะให้ค่าความแข็งมากกว่าความแข็งพื้นฐานของวัสดุ ทั้ง 2 ชนิด ดังแสดงในรูปที่ 9



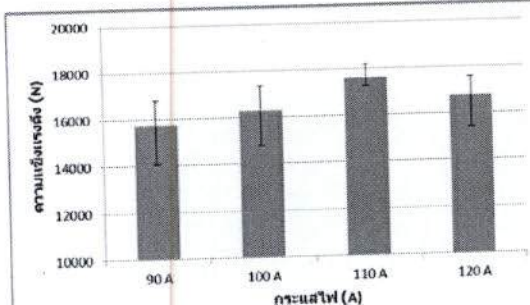
รูปที่ 8 แสดงลักษณะการก้านกระยะและสำเภาในจุดกด



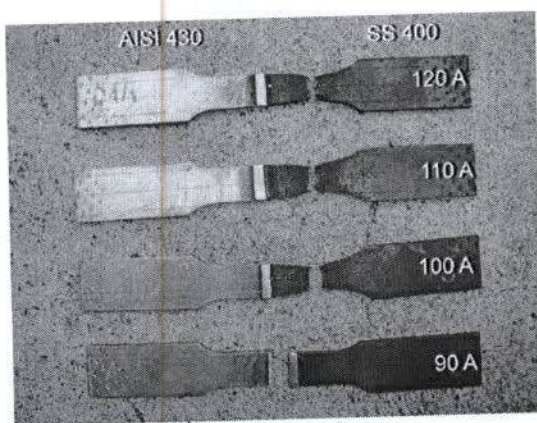
รูปที่ 9 แสดงผลเปรียบเทียบการทดสอบความแข็งของกระแสเชื่อม 90 – 120 A

การทดสอบหาค่ารับแรงดึงสูงสุดของแนวเชื่อมเพื่อเปรียบเทียบค่าความแข็งแรงโดยในการทดสอบการเชื่อมแต่ละกระแสเชื่อมใช้ชิ้นงานในการทดสอบ 4 ชิ้น เพื่อให้ได้ค่าเฉลี่ยที่น่าเชื่อถือ จากการตรวจสอบรอยขาดของชิ้นงานทดสอบด้วยสายตาพบว่าที่กระแส 90 A ชิ้นงานทดสอบจะขาดบริเวณขอบแนวเชื่อมฝั่งชิ้นงาน AISI 430 ส่วนที่กระแส 100 – 120 A ชิ้นงานจะขาดบนเหล็ก SS400 ห่างจากแนวเชื่อม 10 มม. ตรงบริเวณขอบพื้นที่การหักนั้นอยู่บริเวณทุกกระแสเชื่อม เมื่อนำมาตรวจดึงชิ้นทดสอบแต่ละชิ้นมาเปรียบเทียบจะได้ค่ารับแรงดึงที่แตกต่างกัน ดังแสดงในรูปที่ 10 ทำให้เคราะห์ได้ว่าความร้อนของกระแสเชื่อมส่งผลต่อโครงสร้างของชิ้นงานเชื่อมบริเวณพื้นที่การหักนั้น

(HAZ) และการเชื่อมด้วยกระแส 100 – 120 A แนวเชื่อมมีความแข็งแรงมากกว่าชิ้นงานเหล็ก SS400 เพราะการขาดของชิ้นงานทดสอบของทั้ง 3 กระแสไม่ได้ขาดที่บริเวณแนวเชื่อม ดังแสดงในรูปที่ 11



รูปที่ 10 แสดงค่าเฉลี่ยการรับแรงดึงสูงสุดของชิ้นงานแต่ละกระแส



รูปที่ 11 ภาพแห่งการพังทลาย

4. สรุปผล

งานวิจัยนี้ทำการประยุกต์การเชื่อมด้วยกระบวนการเชื่อมอาร์กโอละก้าซคลุ่ม (GMAW) ในการเชื่อมรอยต่อเหล็กกล้า คาร์บอนต่อ SS400 กับเหล็กกล้าไร้สนิมเกรด 430 และทำการศึกษาอิทธิพลตัวแปรการเชื่อมที่มีผลต่อสมบัติของรอยต่อ ผลการทดลองที่ได้มีดังนี้

- จากการตรวจสอบหากในทุกกระแสเชื่อมการเชื่อมเหล็กกล้า carbон SS400 กับเหล็กกล้าไร้สนิม AISI 430 ด้วยกระบวนการเชื่อมอาร์กโอละก้าซคลุ่ม ความเร็วในการเชื่อม 400 มม./นาที แก๊สปีกคลุ่ม Ar80% + CO₂20% ที่กระแส 110 A จะให้แนวเชื่อมที่มีลักษณะการหักนิ่งสัก ผิวรอยเชื่อมเป็นเกรดสวยงาม เป็นกระแสที่เหมาะสมที่สุด

- การเชื่อมด้วยกระแส 100 – 120 A แนวเชื่อมมีความแข็งแรงมากกว่า ชิ้นทดสอบที่เป็นเหล็ก SS400 เนื่องจากคุณภาพของชิ้นทดสอบแรงดึงไม่ได้ขาดที่บริเวณรอยเชื่อม แต่ขาดบริเวณขอบพื้นที่การหัก (HAZ) บนเนื้อเหล็ก SS400 โดยที่กระแส 110 A อิทธิพลของความร้อนส่งผลต่อโครงสร้างของชิ้นงานทำให้ค่ารับแรงดึงได้สูงสุด ซึ่งหมายความกับการเชื่อม



3. กระแสไฟต่อสั่งผลต่อความแข็งแรงของแนวเชื่อม เนื่องจาก การหลอมละลายไม่สมบูรณ์ทำให้การขาดของชิ้นงานทดสอบแรงดึงจะขาดตรงบริเวณของแนวเชื่อมและให้ค่ารับแรงดึงต่ำสุดไม่เหมาะกับการเชื่อม

4. ทุกระยะเชื่อมจะให้ค่าความแข็งที่ใกล้เคียงกัน โดยพบว่า บริเวณแนวเชื่อมจะให้ค่าความแข็งมากกว่าบริเวณอื่น และค่าความแข็งบริเวณ HAZ ของชิ้นงาน AISI 430 มีค่าความแข็งมากกว่าบริเวณ HAZ ของชิ้นงาน SS 400 และโดยความแข็งใกล้เคียงกับแนวเชื่อม

- [8] V.V.Satyanarayana, G.Madhushdhan Reddy , T.Mohandas , Dissimilar metal welding of austenitic-ferrite stainless steels , Journal of materials processing technology 160 (2005) p.128-139

กติดกรรมปะรากาศ

ขอขอบคุณคณะครุศาสตร์ แผนกวิชาช่างเชื่อมโลหะ วิทยาลัยเทคนิคชัยนาท คุณอรัญ บริษัท TSG คุณสุริยา ประสม ทอง และบุคลากร คณะครุศาสตร์อุตสาหกรรม มหาวิทยาลัย เทคโนโลยีราชมงคลสุวรรณภูมิ วิทยาเขตสามชุก ที่ให้ความ อนุเคราะห์อุปกรณ์ และช่วยเหลือในการจัดทำงานวิจัยนี้

เอกสารอ้างอิง

- [1] Branes, T.A. and Pashby, I.R. 2000. Joining Techniques for Aluminum Spaceframes used in Automobiles Part I-Solid and Liquid Phase Welding. J. of Materials Processing Technology. 99: 62-71.
- [2] Brandon, D. and Kaplan, W.D. 1997. Joining Processes, An introduction. New York. John Wiley&Sons.
- [3] ยงยุทธ ดุลยกุล , นภิสร พีมลด และ ประภาส เหมือง จันทร์ "การศึกษาโครงสร้างทางโลหะวิทยาและสมบัติทาง กลของ การเชื่อมเหล็กกล้าคาร์บอนด้วยกระแสเชื่อมและ ส่วนผสมของแก๊สคุณภาพที่แตกต่างกันโดยกรรมวิธีการเชื่อม แม็ก" , มหาวิทยาลัยสงขลานครินทร์ จ.สงขลา 2551.
- [4] อันุสิทธิ์ อร่ามพันธุ์ "ปัจจัยที่เหมาะสมของการเชื่อมแบบ อาร์กโอลูทิกก้าซคลูม" มหาวิทยาลัยเทคโนโลยีราชมงคลอีสาน วิทยาเขตหนองแก่น จ.หนองแก่น 2550
- [5] กัคดี ดำเนินผล "การศึกษาอิทธิพลของปัจจัยในกระบวนการ เชื่อมมิก ต่อโครงสร้างอุลตรา แสงและสมบัติเชิงกลเหล็กกล้า ออสเทเนนติก AISI 304" มหาวิทยาลัยพระจอมเกล้าธนบุรี 2552
- [6] กรภัทร์ จุยยิ่ม "อิทธิพลของพารามิเตอร์การเชื่อมต่อ โครงสร้างและสมบัติทางกลของเหล็กกล้าไร้สนิม AISI 304 กับเหล็กกล้าคาร์บอนปานกลาง" มหาวิทยาลัยพระจอมเกล้า ธนบุรี 2549
- [7] บันด์พีด อมรสิน "การศึกษาผลการทดสอบของปัจจัยจากการ เชื่อมระหว่างเหล็กกล้าสแตนเลส AISI 304 กับเหล็กกล้า คาร์บอนต่ำด้วยกรรมวิธีการเชื่อม Gas Metal arc Welding ต่อโครงสร้างอุลตรา แสงและสมบัติทางกล" มหาวิทยาลัยพระจอม เกล้าธนบุรี 2549